

## CO<sub>2</sub> 히트펌프 열교환기의 성능 해석 모델 개발

김 민 석, 장 영 수<sup>†</sup>

한국과학기술연구원 열·유동 제어 연구센터

### Development of Performance Analysis Model of CO<sub>2</sub> Heat Pump Heat Exchanger

Min-Seok Kim, Young-Soo Chang<sup>†</sup>

**ABSTRACT:** A performance analysis model has been developed for fin-tube type heat exchanger for CO<sub>2</sub> heat pump. The model uses the tube-by-tube method. Because air-side thermal resistance has a great portion among total thermal resistances, it is important to understand air-side heat transfer characteristics. The air-side heat transfer correlation has been proposed from experiments using water. The developed model was confirmed by experimental results and can be used for the performance analysis of heat exchanger.

**Key words:** Heat exchanger(열교환기), Performance analysis(성능 해석), Heat pump(히트 펌프), Tube-by-tube method(관순법)

#### 기호 설명

- A : 면적 [m]
- h : 열전달계수 [W/m<sup>2</sup>K]
- i : 엔탈피 [kJ/kg]
- j : Colburn j 인자,  $\frac{hPr^{2/3}}{G_c C_p}$
- k : 열전도계수 [kW/mk]
- m : 질량 유량 [kg/s]
- NTU: 전달단위수
- Nu : Nusselt 수,  $hL/k$
- Pr : Prandtl 수,  $v/\alpha$
- Q : 열전달량 [kW]
- Re : Reynolds 수,  $\frac{UL}{v}$

t : 관 두께 [m]

U : 총괄 열전달계수 [W/m<sup>2</sup>K]

#### 그리스 문자

- $\epsilon$  : 유효도
- $\phi$  : 핀 효율

#### 하침자

- a : 공기
- D : 관경
- exp : 실험
- f : 핀
- i : 입구
- o : 출구
- r,ref : 냉매
- sim : 시뮬레이션
- w : 물

<sup>†</sup>Corresponding author

Tel.: +82-2-958-6746; fax: +82-2-958-6709  
E-mail address: yschang@kist.re.kr

## 1. 서 론

전세계적으로 지구온난화에 의한 환경문제로 자연냉매인 이산화탄소를 히트펌프시스템에 적용하고자 하는 연구들이 진행되고 있다. 본 연구에서는 이러한 이산화탄소 히트펌프 시스템에 핀-튜브 열교환기를 사용할 경우 성능해석모델을 제시하였다.

핀-튜브 열교환기의 내관으로는 이산화탄소가 흐르면서 공기와의 열전달 과정을 거치는데, 이러한 핀-튜브 열교환기의 경우 전체 열저항에서 공기측 열저항이 대부분을 차지하므로, 열교환기의 성능을 높이기 위해 공기측 열전달 성능을 향상시키는 것이 우선적으로 중요하며, 다양한 형상의 밀집된 형태의 핀이 사용된다. 따라서 핀-튜브 열교환기 설계를 위해서는 공기측 열전달 특성을 잘 이해하는 것이 매우 중요하다.

교류형 핀-판 열교환기는 가장 대표적인 공조용 열교환기로서 원형 동관과 알루미늄 핀으로 구성되어 있으며 기계적인 확관에 의하여 동관과 핀이 밀착되어 있다. 동관 내에는 냉매 등이 흐르며 유동과 직각 방향으로 공기가 핀 사이를 흐르게 되어 있다. 핀-튜브 열교환기를 해석하는 방법에는 Hiller and Glicksman<sup>(1)</sup>과 Fischer and Rice<sup>(2)</sup> 등과 같이  $\varepsilon$ -NTU 관계를 적용하여 해석하는 방법을 사용하거나, Domanski<sup>(3)</sup>의 연구와 같이 단과 단 사이의 공기는 서로 섞이지 않고 열출입이 없다고 가정한 후 각 개별관을 독립된 별개의 요소로 취급하는 관순법(tube-by-tube method)을 사용할 수 있다. 이 관순법은 비교적 간단하면서도 정확한 결과를 얻을 수 있어, 공랭식 열교환기의 해석에 널리 적용되고 있다.

공기측 열전달 계수를 구하는 데는 보통 물을 사용한 열교환기 성능시험 자료와 열교환기 형상과 작동조건에 따른  $\varepsilon$ -NTU 관계식으로부터 열교환기의 총열전달계수를 구하고, 이로부터 공기측 열전달계수를 계산하는 방법이 사용된다.

본 연구에서는 열교환기 모델로 비교적 간단하면서 정확한 결과를 얻을 수 있으며, 각 튜브에서의 열전달특성의 변화를 고려할 수 있는 관순법을 이용한 모델을 사용하였다. 따라서 별도로  $\varepsilon$ -NTU 관계를 구하지 않고, 관순법의 열교환기 모델을 이용하여 실험결과를 가장 잘 예측하는 공기측 열전달계수를 구하는 방법을 사용하였다.

측정된 열전달계수는 공기의 Re와 Pr수의 상관식으로 나타내어 열교환기 모델을 이용한 성능해석에 사용하도록 하였다.

## 2. 시뮬레이션 모델

### 2.1 건표면 열전달 모델

각각의 독립된 관에서 평균온도차를 이용한 열교환기 해석이론을 적용하면 간단한 직교류의 형태로 가정할 수 있으며 열전달 식은 다음과 같다.

$$Q = U \cdot A \cdot T_m \quad (1)$$

열전달 과정에서 냉매의 엔탈피 변화에 대하여 다음과 같이 나타낼 수 있다.

$$Q = m_r \cdot (i_i - i_e) \quad (2)$$

본 연구에서 사용된 관의 경우, 내부에 마이크로 핀이 가공된 형태이므로, Han and Lee<sup>(4)</sup>의 열전달 상관식을 사용하였다.

단위 핀-판에 대한 총괄 열전달 계수는 냉매와 공기 사이의 열저항의 합으로 다음과 같이 나타낼 수 있다.

$$U = \left[ \frac{A_0}{h_r A_r} + \frac{A_0 t}{A_{p,m} k_p} + \frac{A_0}{A_{p,o} h_c} + \frac{1}{h_0 \left( 1 - \frac{A_f}{A_0} (1 - \phi) \right)} \right]^{-1} \quad (3)$$

여기서  $\phi$ 는 핀효율이며, Schmidt<sup>(5)</sup>와 McQuiston and F.C<sup>(6)</sup>에 의해 제안된 방법을 이용하였다.

### 2.2 습표면 열전달 모델

수증기와 물 표면사이의 열전달은 현열 및 잠열에 의한 열전달로 표현 할 수 있다.

$$dQ = [h_o (T_a - T_w) + h_{D,o} (w_a - w_w) i_{f,g,w}] dA_o \quad (4)$$

증발기에서 젖은 펀-관에 대한 총괄 열전달 계수를 다음과 같이 나타낼 수 있다.

$$U = \left[ \frac{A_o}{h_r A_r} + \frac{A_o t}{A_{p,m} k_p} + \frac{1}{h_l} + \frac{A_o}{A_{p,o} h_c} + \frac{1}{h_o (1 + \alpha) (1 - \frac{A_f}{A_o} (1 - \phi))} \right]^{-1} \quad (5)$$

위식에서  $\alpha = \frac{i_{fg,w} (w_a - w_w)}{C_{P,a} (T_a - T_w)}$  이고  $i_{fg,w}$ 는 물의 응축잠열,  $\phi$ 는 펀효율,  $h_{D,o}$ 은 잠열 열전달계수이다.

공기 습도의 변화는 다음의 식으로 나타낼 수 있다.

$$w_{a,o} = w_{a,i} - (w_{a,i} - w_w) \left( 1 - \exp \frac{-h_0 \cdot A_o}{C_{P,a} \cdot m_a} \right) \quad (6)$$

### 3. 공기측 열전달 계수 측정 실험

Fig. 1에 열교환기의 성능을 측정하는 장치의 개략도를 나타내었다. 열교환기 성능 측정 장치는 공기의 온도와 습도가 제어되는 열환경챔버 안에 위치한다. 시험 열교환기의 입/출구 온도를 측정하기 위하여 0.01°C 급의 정밀 디지털 온도계를 사용하였다. 물 순환장치의 개략도를 Fig. 2에 나타내었다. 실험장치는 수조, 절량 유량계, 펌프, 항온조, 열교환기 샘플로 구성된다. 열교환기의 입구 및 출구 온도는 T형 열전대를 이용하여 측정하였다. Table 1에 본 실험에 적용된 실험조건을 나타내었다. 실험은 공기와 물의 입구 조건을 일정하게 유지한 상태에서 공기의 전면속과 물 순환유량을 변화시키며 수행하였다. 실험 데이터는 전체시스템이 안정화 되어 실험조건이 일정하게 유지되는 정상상태에서 데이터 취득 장치를 사용하여 읽어 들인 후, PC에 저장하였다.

핀-관 열교환기는 적용대상에 따라 관의 열수를 1열이나 그 이상의 열로 제작하며, 펀-관 열교환기에 사용되는 펀에는 평판 펀, 과형 펀, 루버 펀, 슬릿 펀 등 매우 다양한 종류가 있으며 그들 가운데 슬릿 펀과 루버 펀이 성능 면에서 우수하기 때문에 가장 널리 사용된다. 본 연구에서는 CO<sub>2</sub> 히트 펌프에 적용될 예정인 Fig. 3과 같은 2열, 3열 형태의 펀-관 열교환기를 대상으

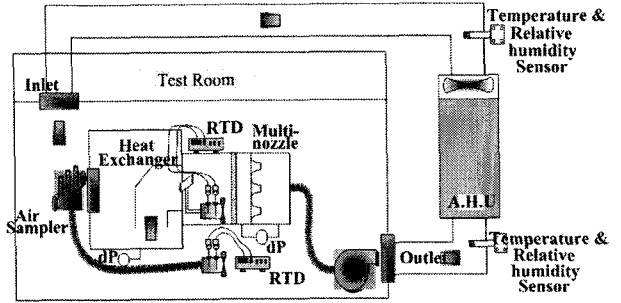


Fig. 1. Heat exchanger performance test apparatus

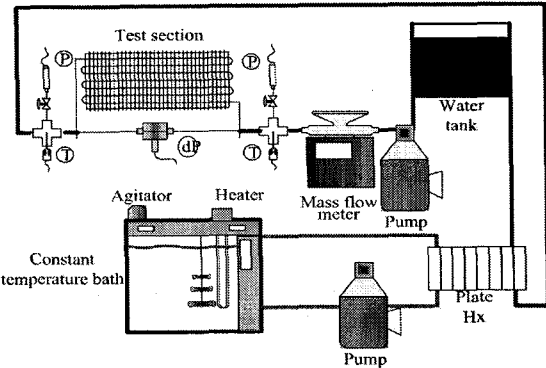


Fig. 2. Water circulation loop

Table 1. Experimental test conditions

	Inlet conditions	Dry	Wet
Air	Temperature (°C)	15	27
Air	Relative Humidity (%)	60	50-80
Air	Frontal velocity (m/s)	0.5-2.5	0.7-1.5
Water	Temperature (°C)	35	7
Water	Mass flow rate (g/s)	15-100	117

로 공기측 성능시험을 수행하였다.

Table 2에 본 실험에서 사용한 펀-관 열교환기의 세부 제원을 보여주고 있다. 관의 내부는 마이크로 펀으로 동관, 펀은 알루미늄 재질의 루버 펀을 사용하였다.

핀-관 열교환기의 공기측 열전달량은 가스쿨러 입출구의 공기 온도차와 풍량을 고려하여 아래와 같이 계산할 수 있으며, 역시 물 측 열전달량은 식 (8)와 같이 계산할 수 있다.

$$Q = \dot{m}_a \cdot (i_{a,c} - i_{a,i}) \quad (7)$$

$$Q = \dot{m}_w \cdot (i_{w,i} - i_{w,c}) \quad (8)$$

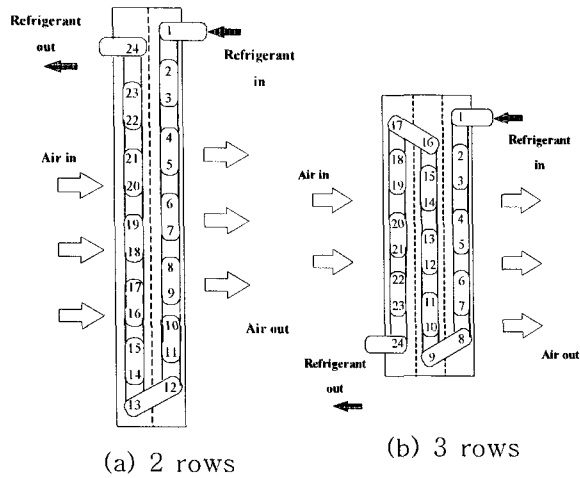


Fig. 3. Fin-tube heat exchangers

Table 2. Geometric dimensions of heat exchangers

	2 rows	3 rows
tube outside diameter [mm]	7	7
tube thickness [mm]	0.32	0.32
number of rows	2	3
fin material	Al	Al
fin type	louver	louver
tube type	micro fin	micro fin

식 (4)과 (5)를 이용하여 물과 공기의 열전달량을 각각 계산하였을 때, 두 값의 편차는 5% 내에서 일치하고 있음을 알 수 있었으며, 공기측 열전달계수를 구하기 위한 열전달량은 공기와 물측 열전달량의 산술평균으로 계산하여 사용하였다.

#### 4 열전달 상관식 구성

##### 4.1 건표면 열전달 상관식 구성

공기 풍속 변화에 따른 공기측 열전달계수의 상관식을 식(9)과 같은 형태로 Fig. 4에 나타내었다.

$$Nu = CR_{\text{D}}^m \text{Pr}^{1/3} \quad (9)$$

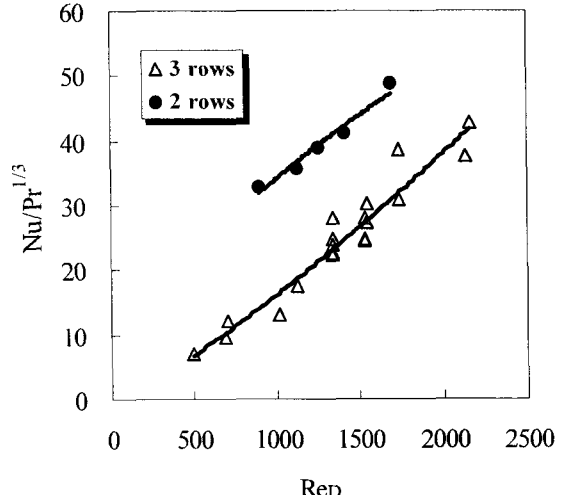


Fig. 4. Developed air-side heat transfer correlation for 2 rows and 3 rows heat exchanger

여기서  $Re_D$ 는 관 직경에 따른  $Re$ 이다.

개발된 공기측 열전달 상관식의 정확도를 검증하기 위하여, 시뮬레이션 프로그램에 새로운 상관식을 적용한 후 실험과 동일한 조건에서 성능 시뮬레이션을 수행 후 실험결과와 비교하여 Fig. 5에 나타내었다. 실험값과 10% 이내에서 일치함을 알 수 있다.

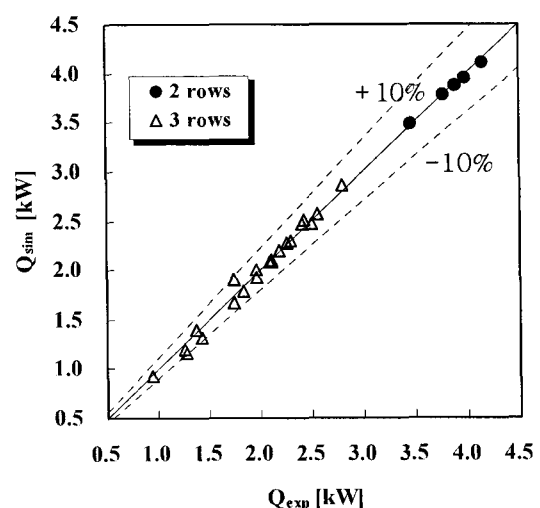


Fig. 5. Comparison of heat transfer rate of simulation and experiment for water

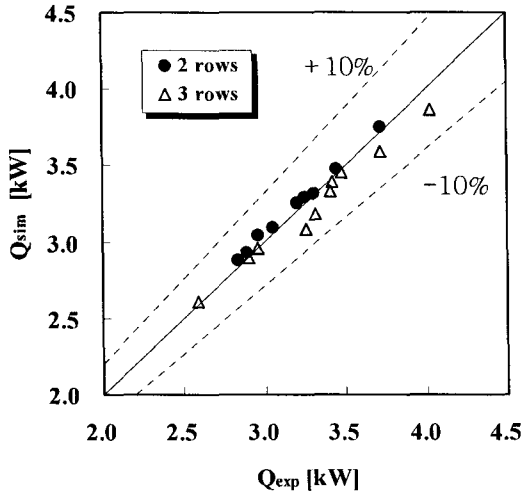


Fig. 6. Comparison of heat transfer rate of simulation and experiment for  $\text{CO}_2$  gas coolers

본 연구에서 사용된 시뮬레이션 모델이 실제  $\text{CO}_2$ 를 적용한 가스쿨러에 적용될 수 있는지를 검증하기 위해, 본 연구와 동일한 열교환기를 사용한  $\text{CO}_2$  가스쿨러에 대한 선행 연구<sup>(8)</sup>의 성능 실험 결과를 이용하여, 성능 시뮬레이션을 수행하였다. 시뮬레이션에 의한 열전달량과 실험값을 비교하여 Fig. 6에 나타내었으며, 물을 이용한 실험결과와 유사하게 10%내 오차에서 일치함을 알 수 있다. 따라서 본 연구의 모델을 이용하여  $\text{CO}_2$ 를 이용한 가스쿨러의 성능해석이 가능함을 알 수 있다.

#### 4.2 습표면 열전달 상관식 구성

제시된 방법과 같은 방법으로 습표면 조건에서 측정 실험을 수행한 후 열전달 계수를 측정할 경우에는 같은 공기 풍량 조건에서 상대습도에 따라 열전달 계수에 차이를 보였으며, Fig. 7에 나타내었다. 이는 시뮬레이션 프로그램의 습표면 열전달 모델과 핀 모델에서 기인하는 것으로, 증발기 해석을 위한 습표면 열전달 해석을 위해서는 이 문제에 대한 보다 깊은 이해와 검토가 필요하다. Fig. 8에는 실험과 시뮬레이션에서의 잠열을 비교하여 나타내었다.

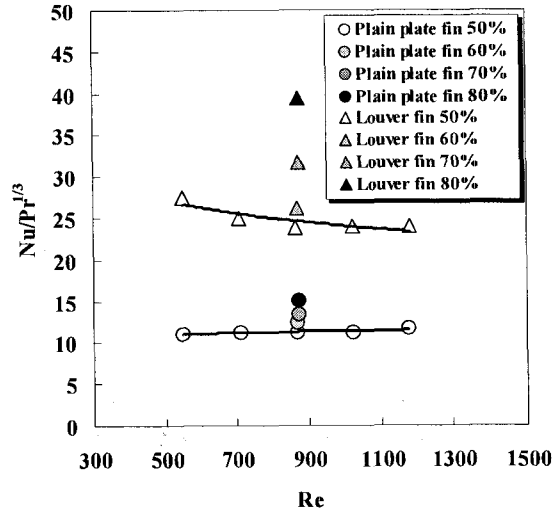


Fig. 7. Air-side heat transfer coefficient at wet surface condition

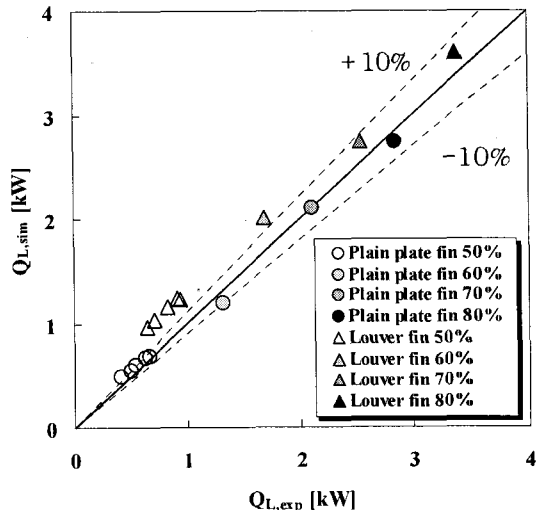


Fig. 8. Comparison of latent heat of simulation and experiment

#### 5. 결론

물을 이용한 실험을 통하여 공기측 열전달 상관식을 개발하였다. 개발된 건표면 상관식을 적용한 시뮬레이션 결과 실험결과를 잘 예측하였으며,  $\text{CO}_2$ 를 이용한 실제 가스 쿨러 실험결과도 잘 예측하였다. 개발된 모델을 이용하여 가스쿨러의 성능해석이 가능하다. 건표면과 같은 방법으로 습표면 열전달 계수를 계산한 결과 같은 조건에

서 상대습도에 따라 차이가 나타났다.

## 후 기

본 연구는 산업자원부 지정 차세대 신기술 개발 사업 중 '환경친화적 자연 냉매인 CO<sub>2</sub>를 적용한 고효율 냉난방 시스템 개발' 과제의 일환으로 수행되었으며, 이에 감사드립니다.

## 참고문헌

1. Hiller, C. C., Glicksman, L. R., 1976, Improving Heat Pump Performance via Compressor Capacity Control -Analysis and Test, Report No. 24525-96, Heat Transfer Laboratory, Massachusetts Institute of Technology, Cambridge, Massachusetts.
2. Fisher, S.K., Rice, C.K., 1981, A steady-state computer design model for air-to-air heat pumps, Oak Ridge national laboratory, ORNL/CON-8-, Oak Ridge, TN.
3. Domanski, P. A., 1989, EVSIM-An evaporator simulation model accounting for refrigerant and one dimensional air,
- NISTIR-89-4133, NIST, Washington, DC.
4. Han, D.H, Lee, K.J., 2005, Single-phase heat transfer and flow characteristics of micro-fin tubes, Applied Thermal Engineering, Vol. 25, pp. 1657-1669.
5. Schmidt, T.E., 1945, La production calorifique des surfaces munies d'ailettes, Annexed u bulletin de l'institut international du froid, Annexe G-5.
6. McQuiston, F.C., Parker, J.D., 1982, Heating, Ventilating, and Air Conditioning, J. Wiley & Sons.
7. Wang, C.C., Lee, C.J., Chang, C.T., Lin, S.P., 1999, Heat transfer and friction correlation for compact louvered fin-and-tube heat exchangers, Int. J. Heat and Mass Transfer, Vol. 42, pp. 1945-1956.
8. Chang, Y.S, Lee, M.K., Ahn, Y.S., Kim, Y., 2005, An Experimental Investigation on the Performance of Outdoor Heat Exchanger for Heat Pump Using CO<sub>2</sub>, Korean Journal of Air-Conditioning and Refrigeration Engineering, vol. 17, n. 2, pp. 101-109